

Лабораторная работа

«Цифровой осциллограф»

Радиофизическая лаборатория 2022-2023 уч. год.

УЛК-1 4.22 (Физтех.Цифра)

Целью курса «Радиофизическая лаборатория» является практические изучения разделов цифровой обработки сигналов, относящихся к вопросам дискретизации и спектрального анализа.

Задачи дисциплины

- изучение основ цифрового спектрального анализа с проведением компьютерного моделирования с помощью библиотек Numpy, Scipy, Matplotlib языка программирования Python;
- приобретение навыков анализа сигналов с помощью цифрового осциллографа;
- овладение алгоритмами расчета дискретного преобразования Фурье;
- получение необходимых базовых знаний для дальнейшего изучения цифрового спектрального анализа и цифровой фильтрации сигналов.

Курс «Радиофизическая лаборатория» является годовым.

Осенний семестр

- Выполняются две лабораторные работы.
- Недифференцированный зачет по итогам сдачи двух лабораторных работ.
- Необходимое и достаточное условие получения зачета в осеннем семестре: наличие положительных оценок по двум лабораторным работам.

Весенний семестр

- Выполняются две лабораторные работы.
- Дифференцированный зачет за курс по итогам сдачи четырех лабораторных работ (две из осеннего семестра, две из весеннего).
- Наличие положительных оценок по всем четырем работам является необходимым условием для зачета.

Занятия проходят в соответствии с расписанием на сайте института по четным или нечетным неделям.

На двух занятиях в семестре проходит сдача. Дату сдачи сообщает преподаватель на занятиях.

Осенний семестр 2022

Сентябрь '22							Октябрь '22							Ноябрь '22							Декабрь '22											
Пн	Вт	Ср	Чт	Пт	Сб	Вс	Пн	Вт	Ср	Чт	Пт	Сб	Вс	Пн	Вт	Ср	Чт	Пт	Сб	Вс	Пн	Вт	Ср	Чт	Пт	Сб	Вс					
Н				1	2	3	4	Н				1	2	Ч				1	2	3	4	5	6	Ч				1	2	3	4	
Ч	5	6	7	8	9	10	11	Ч	3	4	5	6	7	8	9	Н	7	8	9	10	11	12	13	Н	5	6	7	8	9	10	11	
Н	12	13	14	15	16	17	18	Н	10	11	12	13	14	15	16	Ч	14	15	16	17	18	19	20	Ч	12	13	14	15	16	17	18	
Ч	19	20	21	22	23	24	25	Ч	17	18	19	20	21	22	23	Н	21	22	23	24	25	26	27	Н	19	20	21	22	23	24	25	
Н	26	27	28	29	30			Н	24	25	26	27	28	29	30	Ч	28	29	30					Ч	26	27	28	29	30	31		
							Ч	31																								



нечетные недели



четные недели



зачетная неделя

Электронные ресурсы

Материалы размещаются в LMS и на сайте кафедры

<http://kprf.mipt.ru/> ->

-> Учебные курсы ->

-> Радиофизическая лаборатория ->

**->Группы Б01-001, Б01-002, Б01-003, Б01-004, Б01-005,
Б01-006, Б01-008, Б01-009**

- Для гостевой авторизации можно вводить пару **student student5xx**
- Сайт доступен из локальной сети института и через интернет.
- При сохранении .ipynb файлов с сайта обратите внимание, что расширение должно быть **.ipynb** а не **.ipynb.txt**.

Список рекомендуемой литературы

[1] Романюк Ю.А. Основы цифровой обработки сигналов. В 3-х ч. Ч.1. Свойства и преобразования дискретных сигналов. Изд. 2-Е, . М.: МФТИ, 2007. 332 с.

[2] Романюк Ю.А. Дискретное преобразование Фурье в цифровом спектральном анализе. Учебное пособие. М.: МФТИ, 2007. 120 с.

[3] Солонина А.И. Цифровая обработка сигналов в зеркале Matlab. СПб.: БХВ-Петербург, 2021. 560 с.

Учебные пособия [1], [2], [3] есть в библиотеке МФТИ.

Подключение осциллографа

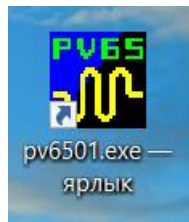
Программа не требует установки на компьютер, в ходе работы программа не изменяет содержимое системных файлов и не делает записей в системный реестр. В систему устанавливается только драйвер интерфейса USB.

- 1) Скопируйте директорию PV6501 в удобное Вам место на винчестере.
- 2) Подключите прибор к USB. Когда Windows обнаружит устройство, укажите «Установка из указанного места» на директорию .../PV6501/Driver.
- 3) Запустите файл PV6501.exe. При первом включении проведите калибровку уровня нуля устройства.

При работе создается файл PV6501.ini, в котором хранятся текущие настройки оболочки. Если вы хотите вернуться к значениям по умолчанию, удалите этот файл.

Подключение на компьютерах в аудитории:

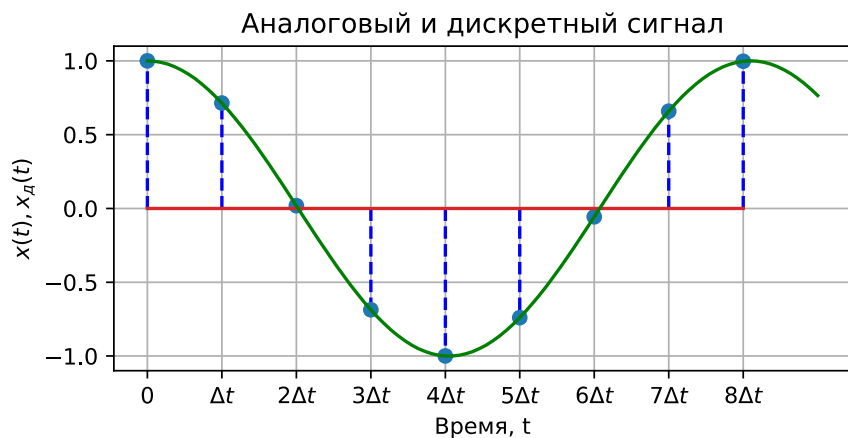
- 1) Запустить файл PV6501.exe из папки Signal2_PV6501.



- 2) Подключить осциллограф без щупов через USB к компьютеру.
- 3) Выполнить калибровку нуля устройства.
- 4) Отключить осциллограф от компьютера, подключить щупы.
- 5) Запустить файл PV6501.exe из папки Signal2_PV6501.
- 6) Подключить осциллограф с подключенными щупами через USB к компьютеру.

Классификация сигналов: аналоговые, дискретные, цифровые.

Под **сигналом** обычно понимают величину, отражающую состояние физической системы. Поэтому естественно рассматривать сигналы как функции, заданные в физических координатах. Примером могут служить одномерные сигналы, заданные как функции времени $x(t)$, двумерные сигналы заданные на плоскости $I(x, y)$. В качестве сигналов могут выступать различные величины. Пример одномерного сигнала — зависимость напряжения в сети от времени $U(t) = A \cdot \cos(2\pi f_0 t)$. Далее мы будем рассматривать в основном одномерные сигналы.

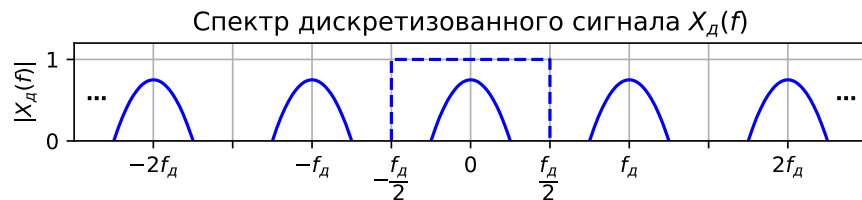
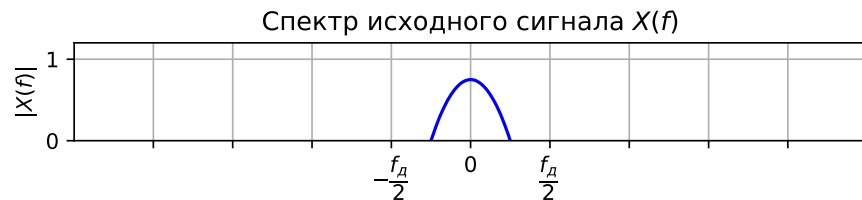
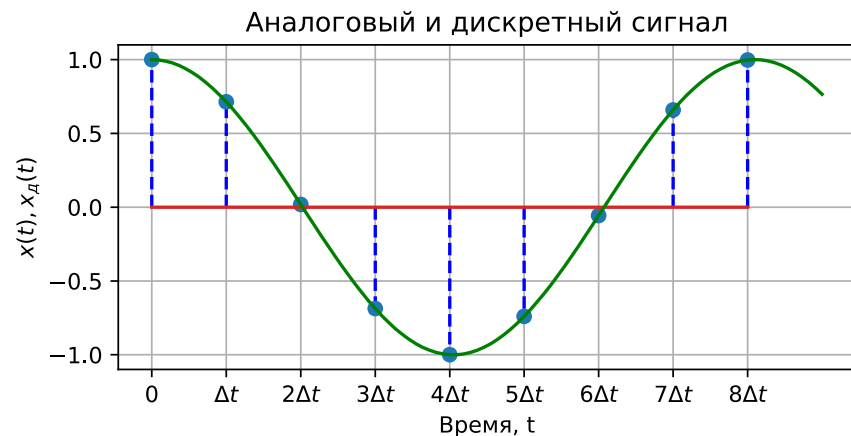


Аналоговые или непрерывные сигналы $x(t)$ описываются непрерывными и кусочно-непрерывными функциями, причем как сама функция, так и ее аргумент могут принимать любые значения в пределах некоторого интервала.

Дискретные сигналы, могут быть описаны в виде счетного набора отсчетов (значений) в заданные моменты времени $k\Delta t$, $k \in \mathbb{Z}$, где Δt — шаг дискретизации. Частота дискретизации f_d (размерность в Гц) — это величина, обратная шагу дискретизации $f_d = 1 / \Delta t$.

Цифровые сигналы, помимо того, что они являются дискретными, могут принимать лишь конечное число значений, соответствующих уровням квантования. Процесс преобразования аналогового сигнала в цифровой состоит из дискретизации и квантования, которые осуществляются аналого-цифровым преобразователем (АЦП). Обычно число уровней квантования 2^m , где m — разрядность АЦП.

Дискретизация аналогового сигнала взятием отсчетов



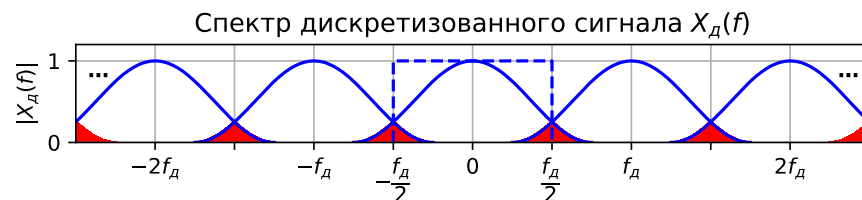
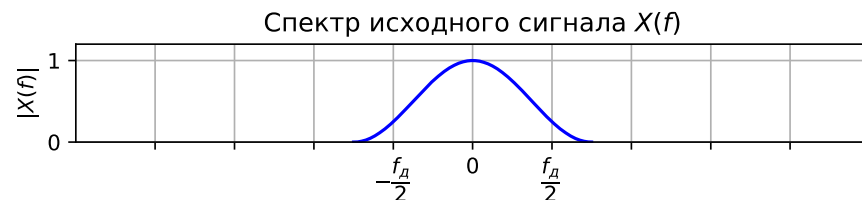
Эффект наложения

Если спектр аналогового сигнала до дискретизации не был ограничен интервалом $[-f_d/2, f_d/2]$, то возникает **эффект наложения** (англ. **aliasing**, элайзинг, алиасинг).

Спектр дискретизованного сигнала $X_d(f)$ связан со спектром исходного аналогового сигнала до дискретизации $X(f)$ соотношением:

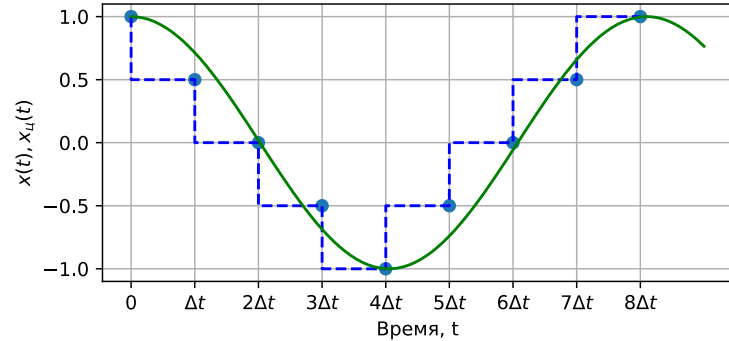
$$X_d(f) = \frac{T}{\Delta t} \sum_{m=-\infty}^{\infty} X(f - mf_d),$$

где Δt — шаг дискретизации, T — нормировочная константа.



Квантование дискретизованного сигнала по уровню

Аналоговый и цифровой сигнал



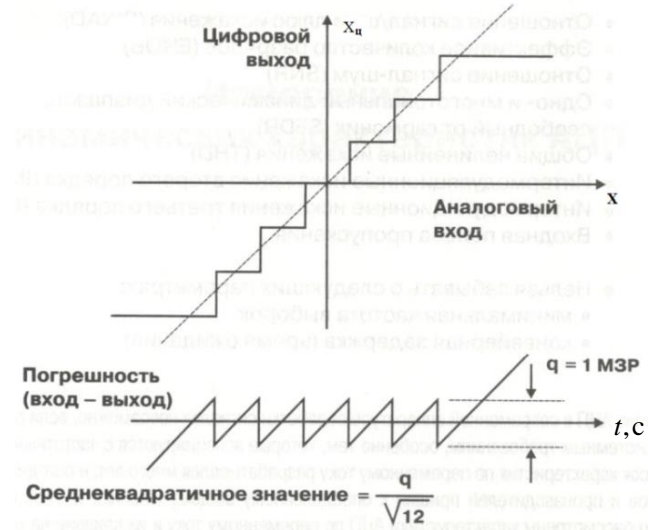
Аналого-цифровой преобразователь (АЦП)

Процесс преобразования аналогового сигнала в цифровой состоит из дискретизации и квантования, которые осуществляются аналого-цифровым преобразователем (АЦП). Обычно число уровней квантования 2^n , где n — разрядность АЦП.

АЦП осциллографа Signal 6501 8 битное (восьмиразрядное).

$$2^8 = 256 \text{ состояний.}$$

Шум квантования n-разрядного АЦП



Погрешность квантования обозначим через $e = x - x_{ц}$. Как видно из графика, максимальная погрешность при преобразовании сигнала равна $(\pm 1/2)$ МЗР (*младшего значащего разряда*). Погрешность квантования сигнала с размахом, большим нескольких МЗР, можно аппроксимировать некоррелированной пилообразной ломанной с амплитудой от пика до пика, равной q – весу МЗР.

$$\text{Пилообразная погрешность} \quad -\frac{q}{2} < e(t) < \frac{q}{2}$$

Из графика видно, что фактическая погрешность квантования с равной вероятностью может появиться в любой точке диапазона $(\pm 1/2) q$. Шум квантования не коррелирован с входным сигналом и имеет равномерное распределение в пределах шага квантования

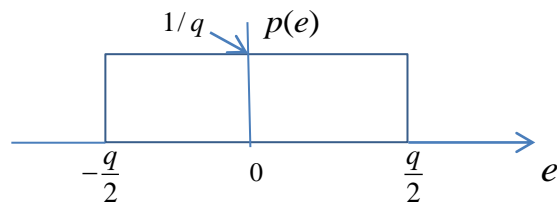


Рис. 2. Плотность вероятности $p(e)$ ошибки квантования.

Из рис. 2 видно, что ошибка квантования имеет среднее значение

$$M[e] = \int_{-q/2}^{q/2} e p(e) de = 0$$

и дисперсию

$$\sigma_e^2 = M[e - M[e]]^2 = M[e^2] = \int_{-q/2}^{q/2} e^2 p(e) de = \frac{1}{q} \int_{-q/2}^{q/2} e^2 de = \frac{q^2}{12}.$$

Среднеквадратичное значение шума квантования

$$\sigma_e = \frac{q}{\sqrt{12}} = \frac{q}{2\sqrt{3}}.$$

Пилообразная погрешность создаёт гармоники, лежащие дальше полосы $[0, f_d/2]$ - первой полосы Найквиста. Однако все высшие гармоники должны переноситься (эффект наложения) в эту полосу и, затем суммируясь, произвести шум с действующим значением $\frac{q}{2\sqrt{3}}$.

Пусть на входе АЦП с диапазоном напряжения входного сигнала

$$V_{in} = \left[-\frac{q \cdot 2^n}{2}, \frac{q \cdot 2^n}{2} \right]$$

действует полномасштабная синусоида

$$x(t) = \frac{q \cdot 2^n}{2} \sin 2\pi f t.$$

Среднеквадратичное значение входного сигнала

$$\sigma_x = \frac{q \cdot 2^n}{2\sqrt{2}}.$$

Среднеквадратичное значение входного сигнала

$$\sigma_x = \frac{q \cdot 2^n}{2\sqrt{2}}.$$

Среднеквадратичное значение шума квантования

$$\sigma_e = \frac{q}{\sqrt{12}} = \frac{q}{2\sqrt{3}}.$$

Отсюда получаем отношение «сигнал/шум» (Signal to Noise Ratio)

$$SNR = 20\lg \left[\frac{q \cdot 2^n / 2\sqrt{2}}{q / 2\sqrt{3}} \right] = 20\lg 2^n + 20\lg \sqrt{2/3} = [6,02n + 1,76] \text{ дБ}.$$

Относительный уровень шума квантования

$$\gamma = 20\lg \left[\frac{q / 2\sqrt{3}}{q \cdot 2^n / 2\sqrt{2}} \right] = -20\lg \frac{1}{2^n \sqrt{1,5}} = -20\lg(2^n \sqrt{1,5}) = -[6,02n + 1,76] \text{ дБ}.$$

Для восьмиразрядного АЦП, используемого в блоке «Signal 6501», относительный уровень шума квантования в дБ будет

$$\gamma = -[6,02n + 1,76] \text{ дБ} \approx -50 \text{ дБ}.$$

Проводить измерения сигналов и их спектров ниже этого уровня бессмысленно.

Осциллограф позволяет проводить измерения однократных и периодических сигналов в диапазоне напряжений $\pm 16 \text{ В}$, в диапазоне частот 0...20 МГц.

Генератор позволяет генерировать функциональные, импульсные и ГЧК сигналы в диапазоне 0...10 МГц.

Частотомер позволяет измерять частоту периодических сигналов диапазоне 2...30 МГц (со входа внешней синхронизации до 250 МГц).

Принцип работы осциллографа заключается в следующем. Подаваемые на вход усилителя вертикального отклонения сигналы нормируются и усиливаются до необходимой величины. Усиленные сигналы поступают на вход АЦП, где происходит их преобразование в эквивалентный цифровой код. Данные после АЦП накапливаются в буферном ОЗУ.

В режиме внутренней синхронизации сигнал с входа подается на усилитель синхронизации для формирования синхронизирующих импульсов.

Компьютер управляет всеми режимами работы осциллографа, осуществляет считывание информации из буферного ОЗУ, ее обработку и передачу в видеопамять компьютера для наблюдения на экране монитора.

Контрольные вопросы

1. Что представляет собой спектр дискретизованного сигнала? Проиллюстрировать эффект наложения ([1], п.7.1) на частотной оси для синусоидальных сигналов.

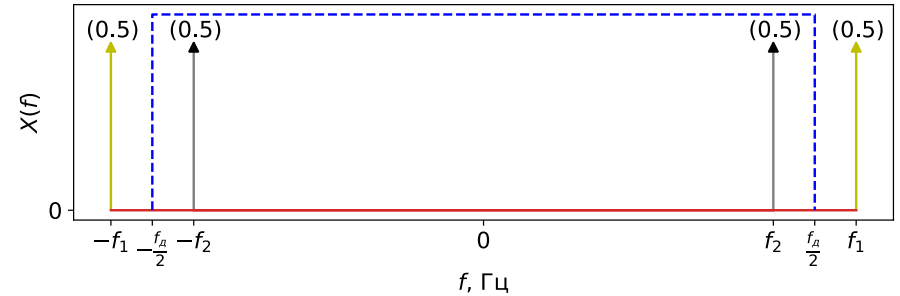
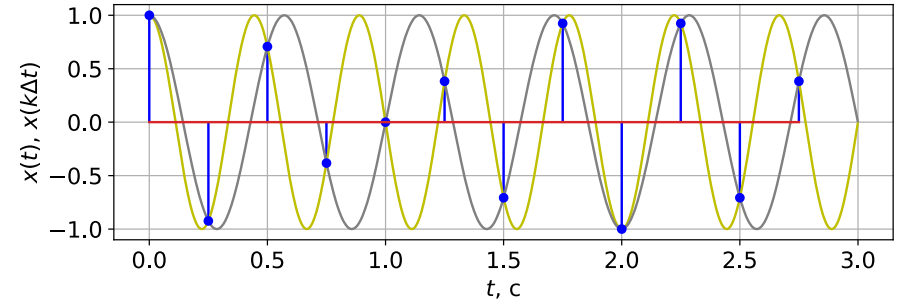
Спектр дискретизованного сигнала $X_d(f)$ связан со спектром исходного аналогового сигнала до дискретизации $X(f)$ соотношением:

$$X_d(f) = \frac{T}{\Delta t} \sum_{m=-\infty}^{\infty} X(f - mf_d),$$

где Δt — шаг дискретизации, T — нормировочная константа.

При дискретизации с частотой f_d отсчетов в секунду мы не можем различить дискретизованные значения синусоиды частотой f_0 Гц и синусоиды частотой $(f_0 + nf_d)$ Гц, если n — любое положительное или отрицательное целое число.

Пример. Дискретизованные косинусоиды с частотами $f_1 = 2,25$ Гц и $f_2 = 1,75$ Гц не различимы при частоте дискретизации $f_d = 4$ Гц.



2. Дискретное во времени преобразование Фурье (ДВПФ) ([1], п. 2.3, стр. 10-11). Основные особенности. В чём отличие ДВПФ от непрерывного пре-образования Фурье (НПФ)?

НПФ (Непрерывное преобразование Фурье)

$$X\left(f\right)=\int_{-\infty}^{\infty}x(t)\exp(-j2\pi ft)dt,$$

$$x(t)=\int_{-\infty}^{\infty}X\left(f\right)\exp(j2\pi ft)df.$$

ДВПФ (Дискретное во времени преобразование Фурье)

$$X_{\text{д}}\left(f\right)=\sum_{k=-\infty}^{\infty}x[k]\exp(-j2\pi fk\Delta t).$$

$$x[k]=\frac{1}{f_{\text{д}}}\int_{-f_{\text{д}}/2}^{f_{\text{д}}/2}X\left(f\right)\exp(j2\pi fk\Delta t)df.$$

3. Дискретное преобразование Фурье (ДПФ) ([1], п. 2.5, стр. 21 – 28). Циклический сдвиг сигнала и его спектра (стр. 23).

Пусть $x[k]$ — последовательность отсчетов сигнала либо длиной в N отсчетов, либо периодическая с периодом N . Тогда прямое и обратное дискретное преобразование Фурье (ДПФ) последовательности $x[k]$ определяется следующим образом

$$X[n]=\sum_{k=0}^{N-1}x[k]\exp\left(-j\frac{2\pi}{N}nk\right),$$

$$x[k]=\frac{1}{N}\sum_{n=0}^{N-1}X[n]\exp\left(j\frac{2\pi}{N}nk\right).$$

Запись ДПФ с нормирующем множителем $1/N$:

$$\tilde{X}[n]=\frac{1}{N}\sum_{k=0}^{N-1}x[k]\exp\left(-j\frac{2\pi}{N}nk\right),$$

$$x[k]=\sum_{n=0}^{N-1}\tilde{X}[n]\exp\left(j\frac{2\pi}{N}nk\right).$$

Для того, чтобы различать две записи, будем использовать обозначения

$$\tilde{X}[n] \text{ и } X[n]. \text{ Очевидно, что } \tilde{X}[n]=\frac{1}{N}X[n].$$

Сигналы $x[k]$ и $y[k]$	N –точечные ДПФ $\tilde{X}[n]$ и $\tilde{Y}[n]$	N –точечное ДПФ $X[n]$ и $Y[n]$
Теорема запаздывания		
$x[k-m]_N$	$\tilde{X}[n]\exp\left(-j\frac{2\pi}{N}nm\right)$	$X[n]\exp\left(-j\frac{2\pi}{N}nm\right)$
Теорема смещения		
$x[k]\exp\left(\pm j\frac{2\pi}{N}n_0k\right),$ $n_0 \in \mathbb{Z}$	$\tilde{X}[n \mp n_0]_N$	$X[n \mp n_0]_N$

4. Соответствие между ДПФ и рядом Фурье([1], п. 3).

Дискретные экспоненциальные функции (ДЭФ)

Функции ДЭФ определяются следующим образом:

$$\varphi_n[k] = W_N^{nk} = \exp\left(j \frac{2\pi}{N} nk\right).$$

Здесь n и k – целые числа, $n, k = 0, 1, \dots, N-1$, т. е. число функций в системе равно числу отсчетов каждой функции. Система ДЭФ является ортонормированной и полной в пространстве \mathbf{I}_2^N .

Основные свойства ДЭФ.

1. ДЭФ являются комплекснозначными функциями.
2. Матрица $\|W_N^{nk}\|$ является симметричной.
3. Система ДЭФ периодична с периодом N по обоим переменным.
4. Система ДЭФ ортогональна:

$$\sum_{k=0}^{N-1} \varphi_n[k] \varphi_m^*[k] = \sum_{k=0}^{N-1} W_N^{nk} W_N^{-mk} = \begin{cases} N, & n = m, \\ 0, & n \neq m. \end{cases}$$

5. Система ДЭФ мультипликативная:

$$W_N^{nk} W_N^{mk} = W_N^{lk},$$

где $l = (n + m)_{\text{mod } N}$, т. е. индексы суммируются по модулю N .

6. Ряд Фурье по этой системе

$$x[k] = \sum_{n=0}^{N-1} \tilde{X}[n] W_N^{nk},$$

где коэффициенты Фурье

$$\tilde{X}[n] = \frac{1}{N} \sum_{k=0}^{N-1} x[k] W_N^{-nk}.$$

Эти два соотношения определяют пару (прямое и обратное) дискретного преобразования Фурье (ДПФ).

Пример. Вычислить 10-точечное ДПФ для периодической последовательности

$$x[k] = \exp(-j2\pi k \frac{3}{10}).$$

Учтем, что

$$\exp(-j2\pi k \frac{3}{10}) = \exp(j2\pi k - j2\pi k \frac{3}{10}) = \exp(j2\pi k \frac{7}{10}).$$

Обратное ДПФ:

$$x[k] = \sum_{n=0}^{N-1} \tilde{X}[n] \exp(j2\pi k \frac{n}{10}) = \exp(j2\pi k \frac{7}{10}).$$

Отсюда

$$\tilde{X}[n] = \begin{cases} 1, & n = 7 + 10m, m \in \mathbb{Z}, \\ 0, & n \neq 7 + 10m, m \in \mathbb{Z}. \end{cases}$$

5. Соответствие между ДПФ и НПФ([1], п. 4).
6. Связь ДПФ и ДВПФ ([1], п. 5).
7. Временная и частотная оси ДПФ([1], п. 6).
8. Особенности Фурье-анализа методом ДПФ([1], п. 7).
9. Особенности применения окон при спектральном анализе методом ДПФ ([1], п. 8).
10. Понятие о быстром преобразовании Фурье (БПФ) ([1],п. 10).

$O(N \log(N))$ и $O(N^2)$ для случая $N = 2^m$

11. Что показывает цифровой осциллограф в режиме анализатора спектра?

Оценку спектра сигнала по последовательности его отсчетов.